



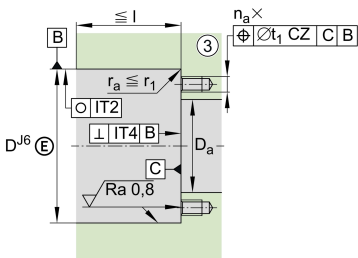
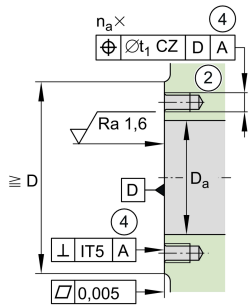
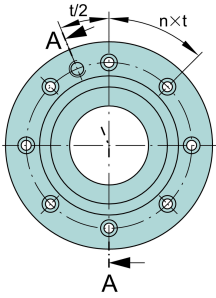
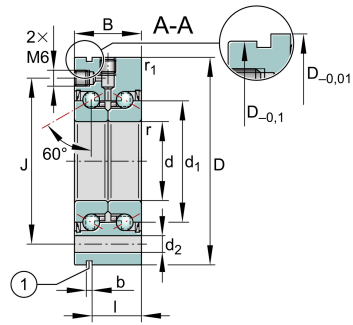
ZKLF90190-2Z-XL [↗](#)

Rodamiento axial a bolas de contacto angular

Rodamientos axiales de bolas de contacto angular ZKLF.-2Z, de doble efecto, atornillable, obturación por paso estrecho en ambos lados

X-life

Información técnica

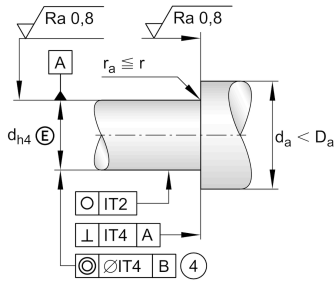


Variante de su producto actual

| | | |
|---------------------|-------|---|
| Obturaciones | 2Z | Obturaciones por paso estrecho mínimas en ambos lados |
| Clase de tolerancia | Norma | |

Medidas principales y datos de rendimiento

| | | |
|--------------------------|-------------|---|
| d | 90 mm | Diámetro del agujero |
| | 0 mm | Tolerancia superior diámetro del agujero |
| | -0,008 mm | Tolerancia inferior diámetro del agujero |
| D | 190 mm | Diámetro exterior |
| | 0 mm | Tolerancia superior diámetro exterior |
| | -0,015 mm | Tolerancia inferior diámetro exterior |
| B | 55 mm | Anchura |
| | 0 mm | Tolerancia superior anchura |
| | -0,25 mm | Tolerancia inferior anchura |
| C _a | 149.000 N | Capacidad de carga dinámica, axial |
| C _{0a} | 395.000 N | Capacidad de carga estática, axial |
| C _{ua} | 21.900 N | Límite de carga por fatiga, axial |
| n _G Grease | 3.500 1/min | Velocidad límite de rotación para lubricación con grasa |
| n _g | 2.300 1/min | Velocidad máxima permisible |
| M _R | 2,3 Nm | Momento de rozamiento del rodamiento |
| ≈m | 7,806 kg | Peso |



Medidas de montaje

| | | |
|--------------|--------|---|
| $D_{a \max}$ | 138 mm | Diámetro máximo del alojamiento |
| $d_{a \min}$ | 116 mm | Diámetro mínimo del eje |
| t_1 | 0,2 mm | Tolerancia de posición del agujero en el soporte |
| | M10 | Tamaño de tornillos de fijación |
| n_a | 8 | Cantidad de agujeros de la construcción anexa |
| t_a | 45 ° | Distancia del ángulo de separación de los agujeros en la construcción anexa |
| | M6 | Conexión lubricación de rosca |

Medidas

| | | |
|--------------|--------|---|
| d_1 | 120 mm | Diámetro del borde del anillo interior |
| r_{\min} | 0,6 mm | Medidas mínimas del chaflán |
| $r_{1 \min}$ | 0,6 mm | Medidas mínimas del chaflán |
| J | 165 mm | Diámetro primitivo de rodadura de los agujeros de fijación |
| d_2 | 11 mm | Diámetro de los agujeros de fijación |
| b | 3 mm | Anchura de la ranura de desmontaje |
| l | 45 mm | Distancia de la ranura de desmontaje |
| n | 8 | Cantidad de divisiones de los agujeros de fijación |
| t | 45 ° | Distancia del ángulo de separación y los agujeros de fijación |
| a | 60 ° | Ángulo de contacto |

Rango de temperatura

| | | |
|------------|--------|------------------------------------|
| T_{\min} | -30 °C | Temperatura mín. de funcionamiento |
| T_{\max} | 120 °C | Temperatura máx. de funcionamiento |



Información adicional

| | | |
|----------|-------------------------|--|
| c_{aL} | 1.700 N/ μ m | Rigidez axial |
| c_{kL} | 4.400 Nm/mrad | Rigidez al vuelco |
| M_m | 59,9 kg*cm ² | Momento de inercia másico |
| | 3 μ m | Concentricidad axial |
| | ZMA90/130 | Tuerca estriada de precisión INA recomendada para la fijación radial |
| | AM90 | Tuerca estriada de precisión INA recomendada para la fijación axial |
| M_A | 200 Nm | Par de apriete para la tuerca estriada de precisión INA recomendada |
| | 22.731 N | Fuerza axial requerida de la tuerca estriada |

Características



Carga radial



Carga axial en un sentido



Carga axial en ambos sentidos



Lubricación de por vida, ausencia de mantenimiento



Lubricación con grasa



Obturado en ambos lados